

УДК 550.834

В. Г. Быков, В. Н. Николаевский

## ПОГЛОЩЕНИЕ СЕЙСМИЧЕСКИХ ВОЛН И ВЯЗКОСТЬ АСТЕНОСФЕРЫ

Получена система уравнений движения с учетом упруговязкодеформируемости матрицы. Проведены расчеты коэффициентов поглощения низкочастотных сейсмических волн в двухфазной астеносфере с частичным расплавом и аморфной прослойкой в контак-

**Введение.** Для глобальной геодинамики весьма важен вопрос о существовании астеносферы в различных регионах земного шара, а также о возможности определения эффективной вязкости астеносферы сейсмологическими методами. Качественным показателем наличия астеносферного слоя давно служат снижение скоростей и повышенное поглощение сейсмических волн. Так, установлено, что поглощение сейсмических волн от землетрясений и ядерных взрывов в верхней мантии зависит от региональной геологической структуры: наиболее слабое поглощение зарегистрировано под континентальными щитами и древними океанами, а наиболее интенсивное — под тектонически активными зонами, островными дугами и молодыми океанами [19]. Поглощению сейсмических волн в горных породах при высоких давлениях и температурах посвящено много работ, в которых учитывали атомную диффузию, перемещение дислокаций, диффузию по границам зерен, межкристаллическую термоупругую релаксацию, неупругость отдельных минеральных зерен [20], неупругость матрицы, содержащей жидкие включения различной формы [4, 29], тонкоструйный механизм [23, 26], фазовые переходы [24]. Согласно работе [5], поглощение в зонах низкой добротности может быть связано с аморфизацией вещества, частичным плавлением и сильным загрязнением. Хотя в явном виде эти физические механизмы в расчеты сейсмических полей не вводились, из экспериментов по исследованию низкочастотных упругих волн в частичных расплавах металлов известно [28], что основной вклад в поглощение вносит именно движение расплава. Поглощение, обусловленное этим механизмом, на 2—3 порядка больше, чем поглощение за счет теплопроводности и химических реакций. В настоящей работе предлагается использовать математическую модель, которая вклю-

тая зерен. Исследовано влияние физико-механических параметров астеносферы на поглощение сейсмических волн. Показана принципиальная возможность определения эффективной вязкости астеносферы сейсмологическими методами,

чает два из указанных механизмов: поглощение, обусловленное наличием подвижного расплава в образовавшихся порах, и поглощение, связанное с возникновением аморфной прослойки между зернами. Цель приведенных в работе расчетов состояла в выявлении принципиальной возможности определения эффективной геодинамической вязкости астеносферы по значениям коэффициентов поглощения вступлений сейсмических волн. Известно, что до сих пор единственным методом определения вязкости верхней мантии служат расчеты и сравнение с натурными данными послеледникового поднятия Фенноскандии и Канадского щита [17].

Физико-математическая модель. Будем исходить из представлений, что в астеносфере происходит частичное плавление мантийного геоматериала. Как показывают эксперименты [6], расплав появляется в виде капель в местах контактов зерен. По мере его накопления в среде образуется сплошная сеть каналов, необходимая для создания внутренней проницаемости (рис. 1). Если пористость  $m$ , совпадающая с процентным содержанием расплава, составляет всего 0,1—0,5 %, то проницаемость  $k$  будет равна нулю. При  $m = 0,8—3,0\%$  имеем  $k = d^2(m - m_0)^3 / [20(1 - m + m_0)^2]$ , где  $d$  — диаметр зерна и  $m_0 = 0,008$ . При объеме расплава более 3 % появляются сферические связанные поры и проницаемость уже оценивается как  $k = m^2 d^2 / 1600$  [18]. Кроме образования пор, заполненных расплавом, между зернами возникает аморфная прослойка, которая облегчает движение зерен относительно друг друга. Принято считать [27], что количество расплава в астеносфере не превышает 5—7 %.

Экспериментальные исследования показали [3], что для полного закрытия возникших пор необходимо приложить давление до 200 кбар,

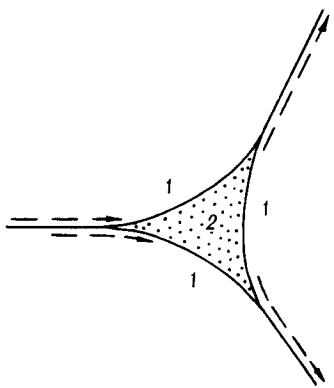
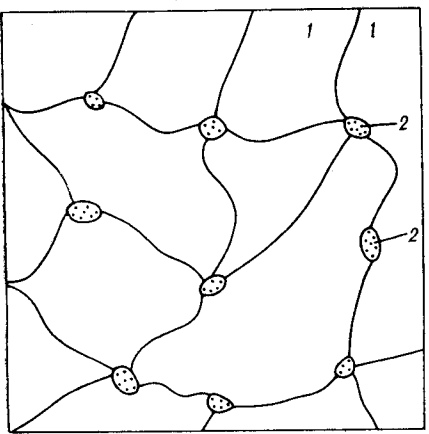


Рис. 1. Структурная модель астеносферы.  
1 — зерно оливин; 2 — магматический расплав.

которое соответствует глубине свыше 700 км. Поэтому астеносферу можно моделировать сплошной средой, состоящей из жестких тугоплавких зерен с упруговязкими контактами и расплава, заполняющего поры.

Соответственно, для математического описания продольных сейсмических волн в двухфазной астеносфере воспользуемся теорией насыщенных пористых сред [12], дополнив ее эффектом вязкого деформирования матрицы, с учетом объемной и сдвиговой линейной вязкости расплава [8].

Уравнения неразрывности и баланса импульса для твердой и жидкой фаз тогда имеют вид [12]

$$\frac{\partial}{\partial t}(1-m)\rho_S + \frac{\partial}{\partial x_i}(1-m)\rho_S u_i = 0; \quad (1)$$

$$\frac{\partial}{\partial t}m\rho_l + \frac{\partial}{\partial x_i}m\rho_l v_i = 0; \quad (2)$$

$$\begin{aligned} \frac{\partial}{\partial t}(1-m)\rho_S u_i &= \frac{\partial}{\partial x_j}\sigma_{ij}^{(f)} - \frac{\partial}{\partial x_i}(1-m)P + \\ &+ \frac{\mu m^2}{k}(v_i - u_i); \end{aligned} \quad (3)$$

$$\frac{\partial}{\partial t}m\rho_l v_i = -\frac{\partial}{\partial x_i}mP - \frac{\mu m^2}{k}(v_i - u_i). \quad (4)$$

Здесь  $\rho_S$ ,  $\rho_l$  — плотность твердой и жидкой фаз;  $u_i$ ,  $v_i$  — скорость смещения частиц матрицы и жидкости;  $m$ ,  $k$  — пористость и проницаемость матрицы;  $\mu$  — динамическая вязкость жидкости;  $P$  — давление в жидкости;  $\sigma_{ij}^{(f)}$  — эффективные напряжения в пористой среде, вызывающие взаимные смещения частиц. Полная деформация среды  $e_{ij}$  состоит из двух частей — упругой (обратимой)  $e_{ij}^{(l)}$  и вязкой (необратимой)  $e_{ij}^{(p)}$ . Закон деформирования изотропного геоматериала астеносферы имеет вид:

$$\begin{aligned} \sigma_{ij}^{(f)} &= \sigma_{ij}^{(fe)} + \sigma_{ij}^{(fp)} = \left\{ \left( K - \frac{2}{3}G \right) e_{ij} + 2Ge_{ij} + \right. \\ &+ \beta_S K P \delta_{ij} \Big\} + \left\{ \eta \left( \frac{\partial u_i}{\partial x_j} + \frac{\partial u_j}{\partial x_i} - \frac{2}{3} \frac{\partial u_k}{\partial x_k} \right) + \zeta \frac{\partial u_k}{\partial x_k} \delta_{ij} \right\}, \\ \frac{\partial e_{ij}}{\partial t} &= \frac{1}{2} \left( \frac{\partial u_i}{\partial x_j} + \frac{\partial u_j}{\partial x_i} \right), \end{aligned} \quad (5)$$

где  $\beta_S$  — сжимаемость материала зерен;  $K$ ,  $G$  — модули всестороннего сжатия и сдвига матрицы;  $\eta$ ,  $\zeta$  — сдвиговая и объемная вязкости матрицы;  $\epsilon = \beta_S \cdot K$  — жесткость матрицы. Подставляя (5) в (3) — (4), получим уравнения в терминах смещений частиц твердой и жидкости  $v$  фаз:

$$(1-m)\rho_S \frac{\partial^2 u}{\partial t^2} = \left( K + \frac{4}{3}G \right) \frac{\partial^2 u}{\partial x^2} - (1-m-\epsilon) \frac{\partial P}{\partial x} + \left( \zeta + \frac{4}{3}\eta \right) \frac{\partial^3 u}{\partial x^2 \partial t} + \frac{\mu m^2}{k} \frac{\partial}{\partial t}(v - u); \quad (6)$$

$$m\rho_l \frac{\partial^2 v}{\partial t^2} = -m \frac{\partial P}{\partial x} - \frac{\mu m^2}{k} \frac{\partial}{\partial t}(v - u). \quad (7)$$

После преобразований и суммирования системы уравнений примет вид:

$$\begin{aligned} \rho \frac{\partial^2 u}{\partial t^2} + m\rho_l \frac{\partial^2}{\partial t^2}(v - u) &= \left( K + \frac{4}{3}G \right) \frac{\partial^2 u}{\partial x^2} - \\ &- (1-\epsilon) \frac{\partial P}{\partial x} + \left( \zeta + \frac{4}{3}\eta \right) \frac{\partial^3 u}{\partial x^2 \partial t}; \end{aligned} \quad (8)$$

$$\begin{aligned} m\rho_l \frac{\partial^2 u}{\partial t^2} + m\rho_l \frac{\partial^2}{\partial t^2}(v - u) &= -m \frac{\partial P}{\partial x} - \\ &- \frac{\mu m^2}{k} \frac{\partial}{\partial t}(v - u), \end{aligned} \quad (9)$$

где  $\rho = (1-m)\rho_S + m\rho_l$  — плотность насыщенной пористой среды. Дифференцируя (8) — (9) по  $x$ , вводя обозначения  $e = \operatorname{div} \vec{u}$ ,  $\xi = m \operatorname{div}(\vec{u} - \vec{v})$  и полагая

$$a_1 = K + \frac{4}{3}G + (1-\epsilon)^2 \cdot (\beta - \beta_S \epsilon)^{-1},$$

$$a_2 = (1 - \varepsilon) \cdot (\beta - \beta_S \varepsilon)^{-1}, \quad a_3 = (\beta - \beta_S \varepsilon)^{-1},$$

$$\beta = (1 - m) \beta_S + m \beta_l,$$

окончательно запишем

$$\frac{\partial^2}{\partial x^2} (a_1 e - a_2 \xi) = \frac{\partial^2}{\partial t^2} (\rho e - \rho_l \xi) - \left( \zeta + \frac{4}{3} \eta \right) \frac{\partial^3 e}{\partial x^2 \partial t}; \quad (10)$$

$$\frac{\partial^2}{\partial x^2} (a_2 e - a_3 \xi) = \frac{\partial^2}{\partial t^2} \left( \rho_l e - \frac{\rho_l}{m} \xi \right) - \frac{\mu}{k} \frac{\partial \xi}{\partial t}. \quad (11)$$

Система дифференциальных уравнений (10)–(11) описывает движение пористой насыщенной среды с учетом упруговязкой деформации матрицы и взаимодействия жидкости с матрицей. Она включает как вязкость матрицы, так и вязкость жидкости. В предположении о гармоническом возбуждении:  $e, \xi \sim \exp[i(\omega t - ex)]$ , из системы (10)–(11) получим выражение для коэффициента поглощения  $\alpha_p(\omega)$ :

$$\alpha_{p_1}(\omega) = -\omega \operatorname{Im} \{[-r + (r^2 - 4pq)^{1/2}] / 2p\}^{1/2}, \quad (12)$$

$$\begin{aligned} r &= a_1 \rho_S / m - a_3 \rho - 2a_2 \rho_l + \mu \left( \zeta + \frac{4}{3} \eta \right) / k - \\ &- i \left[ a_1 \mu / k \omega - \rho_l \omega \left( \zeta + \frac{4}{3} \eta \right) / m \right], \\ p &= a_1 a_2 + a_2^2 + i a_3 \omega \left( \zeta + \frac{4}{3} \eta \right), \\ q &= \rho_l^2 - \rho \rho_l / m + i \rho \mu / k \omega. \end{aligned}$$

Для учета вязкого поглощения, определяемого средним градиентом во внутриворовой жидкости, воспользуемся линейной теорией вязкоупругости [8]. В этом случае коэффициент поглощения будет иметь вид:

$$\alpha_{p_2}(\omega) = \omega \{ \rho [(Q^2 + R^2)^{1/2} - Q] / 2(Q^2 + R^2) \}^{1/2}; \quad (13)$$

$$Q = \operatorname{Re} \left( \kappa + \frac{4}{3} v \right), \quad R = \operatorname{Im} \left( \kappa + \frac{4}{3} v \right),$$

где  $\kappa(\omega)$ ,  $v(\omega)$  — объемный и сдвиговый коэффициенты вязкоупругости среды. В случае малого объема включений ( $m \ll 1$ ) в [2] было предложено использовать для  $\kappa$  и  $v$  следующие выражения

$$\begin{aligned} \kappa &= H(K_l - K_s + i\omega \xi) m / L + K_s; \\ v &= G [1 + 15Hm(i\omega \gamma - G) / (GC + i\omega \gamma D)]; \end{aligned} \quad (14)$$

$$H = K_s + \frac{4}{3} G; \quad L = K_l + \frac{4}{3} G; \quad C = 9K_s + 8G;$$

$$D = 6(K_s + 2G).$$

Здесь  $K_s$ ,  $K_l$  — модули всестороннего сжатия твердой и жидкой фазы;  $G$  — модуль сдвига;  $m$  — пористость;  $\xi$ ,  $\gamma$  — объемная и сдвиговая вязкости жидкости. Подставляя (14) в (13),

найдем явные выражения для  $Q$  и  $R$

$$Q = 20HGm(D\Gamma_2^2 - C)/(C^2 + D^2\Gamma_2^2) - MH;$$

$$R = 20H\Gamma_2 m(C + D)/(C^2 + D^2\Gamma_2^2) + HG\Gamma_1 m/L; \quad (15)$$

$$M = m(K_s - K_l)/L - 1; \quad \Gamma_1 = \omega \xi / G; \quad \Gamma_2 = \omega \gamma / G.$$

Используя (13) и (15), можно вычислить поглощение продольной волны за счет циркуляционных течений внутри расплава, заполняющего поры.

3. Исследование модели. Вычисления по формулам (12), (13) и (15) проводились в диапазоне частот от 1 до 10 Гц при варьировании характерных значений физических параметров [21, 22]. Так, для матрицы, состоящей из тугоплавких зерен оливина:  $\rho_s = 3,34 \text{ г/см}^3$ ;  $K_s = 10^{12} \text{ дин/см}^2$ ;  $G = 0,3 \times 10^{12} \text{ дин/см}^2$ ;  $\beta_s = 10^{-12} \text{ см}^2/\text{дин}$ ;  $\alpha = 0,05$ –1,0 см, и для расплава:  $\rho_l = 2,7 \text{ г/см}^3$ ;  $K_l = 10^{11} \text{ дин/см}^2$ ;  $\beta_l = 10^{-11} \text{ см}^2/\text{дин}$ ;  $\mu = 10^2$ – $10^4$  П.

Анализ был проведен прежде всего для выяснения роли каждого из указанных механизмов поглощения. Начнем с эффекта относительного течения расплава. Суммируя поглощение, обусловленное вязкоинерционным  $\alpha_{p_1}$  при  $\eta$ ,  $\xi = 0$  и циркуляционным  $\alpha_{p_2}$  механизмами, получим полное поглощение, вызываемое механическим движением расплава:  $\alpha_m = \alpha_{p_1} + \alpha_{p_2}$ .

На рис. 2, а представлена зависимость коэффициента поглощения продольных сейсмических волн (частотой 10 Гц) от плотности расплава и предполагаемого диаметра зерен пористой структуры. Из рисунка видно, что увеличение плотности приводит к уменьшению поглощения и, наоборот, с ростом размера зерен поглощение повышается. Однако, полученные численные значения коэффициентов  $\alpha_p(\rho_l)$ ,  $\alpha_p(d)$  даже по порядку величины не согласуются с данными [10, 14] низкочастотных натурных измерений в астеносфере:  $\alpha_p = 10^{-10}$ – $10^{-8} \text{ см}^{-1}$ .

Модули упругости варьировались в широком диапазоне (см. рис. 2, б), соответствующем значениям скорости сейсмических волн в астеносфере вплоть до  $v_p \leq 8,53 \text{ км/с}$ . Из рисунка следует, что поглощение мало чувствительно к изменениям модуля всестороннего сжатия расплава, хотя большему значению  $K_l$  соответствует меньшее значение  $\alpha_p$ . Уменьшение упругих модулей матрицы  $K_s$  и  $G$  может заметно повлиять на поглощение. Зависимости  $\alpha_p(K_s)$ ,  $\alpha_p(K_l)$ ,  $\alpha_p(G)$  несколько различны: наибольший спад происходит в интервале  $(0,3$ – $2,0) \cdot 10^{11} \text{ дин/см}^2$ , а дальнейшее повышение модулей уже мало меняет результаты. Коэффициенты поглощения связаны с модуля-

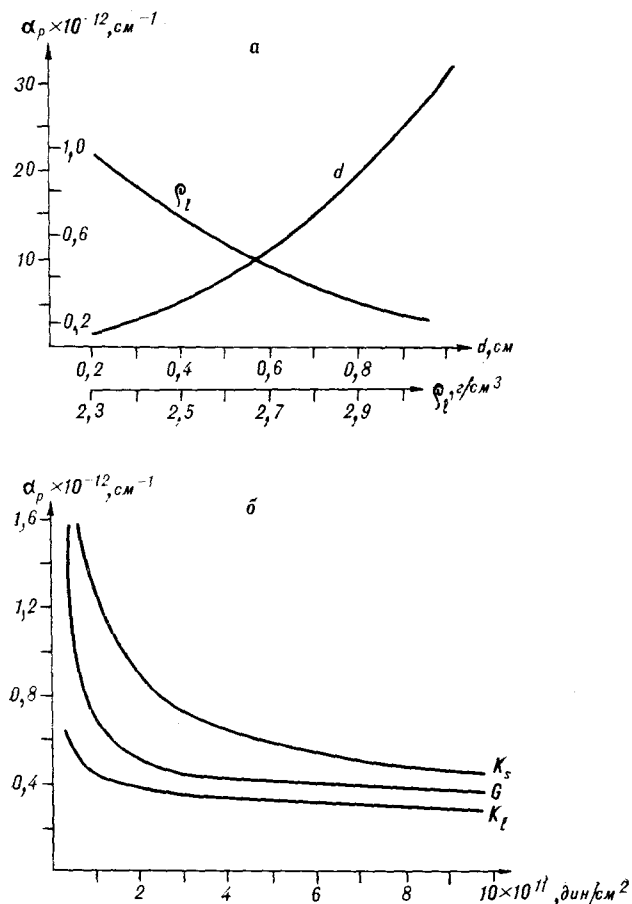


Рис. 2. Зависимость поглощения продольной сейсмической волны от размера зерен, плотности расплава (а) и модулей упругости (б) при  $\mu = 10^2 \text{ Па}$ .

ми упругости матрицы корреляционной зависимостью, близкой к гиперболической.

Рис. 3 отражает зависимость поглощения от пористости зернистой структуры, т. е. в данном случае от процентного содержания расплава. Рисунок показывает, что при увеличении пористости поведение зависимостей циркуляционного (кривая 1) и вязкоинерционного (кривая 2) поглощений различны: фиксируется плавное изменение кривой 1 и быстрый рост кривой 2. При наличии 3,5 % расплава значения коэффициентов поглощения обоих механизмов равны, далее преобладает поглощение, обусловленное движением расплава относительно кристаллических зерен. Расчеты показывают, что при небольшом количестве расплава ( $\mu = 10^2 \text{ Па}$ ) поглощение очень мало. Сравнимые с измеренными коэффициенты поглощения  $\alpha_p = (1,2 - 2,4) \cdot 10^{-10} \text{ см}^{-1}$  при насыщении пор сильновязким расплавом ( $\mu = 10^2 \text{ Па}$ ) получаются только при  $m = 0,20 - 0,30$  и выше.

Рис. 4 показывает, каким образом вязкость расплава связана с поглощением, обусловлен-

ным вязкоинерционным и циркуляционным эффектами в диапазоне реальных значений вязкости магматических расплавов  $10^{-1} - 10^8 \text{ Па}$ . Кривая 1, определяющая поглощение при высокой проницаемости ( $m = 0,1; d = 1,0 \text{ см}$ ), претерпевает довольно плавные изменения с минимумом в интервале  $\mu = 10^2 - 10^3 \text{ Па}$ . Подчеркнем, что увеличение вязкости от  $10^{-1}$  до  $10 \text{ Па}$  дает понижение коэффициентов поглощения от  $6 \cdot 10^{-9}$  до  $6 \cdot 10^{-11} \text{ см}^{-1}$ , т. е. вводит в экспериментально определяемую область значений. Дальнейшее повышение вязкости (до  $10^5 \text{ Па}$ ) вновь не дает удовлетворительного согласия с данными натурных измерений. Из рисунка также следует, что до  $\mu = 10 \text{ Па}$  преобладающим является вязкоинерционный механизм. Затем оба механизма конкурируют вплоть до  $\mu = 10^3 \text{ Па}$ , а при  $\mu > 10^3 \text{ Па}$  поглощение вызвано циркуляционными течениями внутри самого расплава.

Для слабопроницаемых частично расплавленных кристаллических пород ( $m = 0,01; d = 0,1 \text{ см}$ ) — кривая 2, циркуляционный механизм играет преобладающую роль, начиная с  $\mu = 10 \text{ Па}$ . Но для такой среды рассчитанные коэффициенты поглощения совпадают с измеренными только при  $\mu > 10^{5,5} \text{ Па}$ . Поглощение для этих расплавов в высоко- и слабопроницаемых средах мало различается, что указывает на преобладающую роль циркуляции. Таким образом, вязкоинерционный эффект дает реальное затухание при частоте колебаний  $f \geq 10 \text{ Гц}$  и вязкости расплава  $\mu \leq 10 \text{ Па}$ .

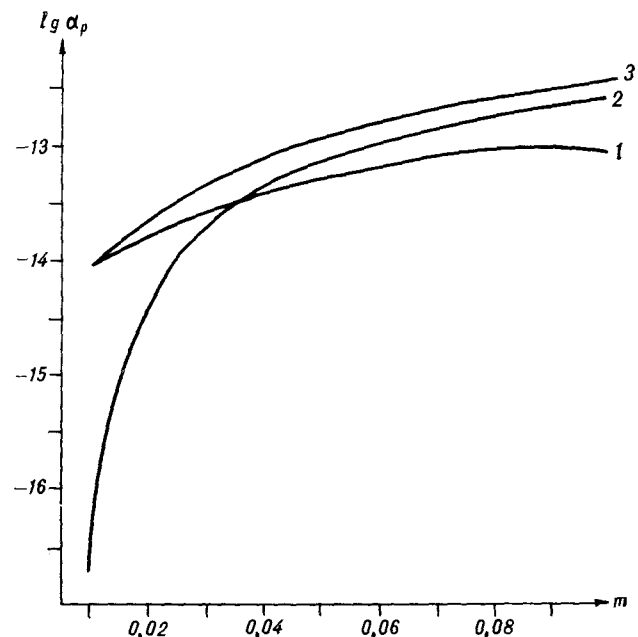


Рис. 3. Зависимость поглощения от процентного содержания расплава.  
1 — циркуляционный механизм; 2 — вязкоинерционный механизм; 3 — суммарное поглощение.

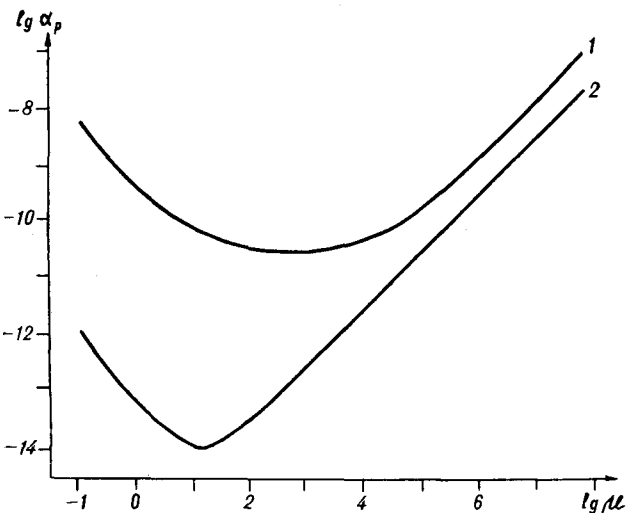


Рис. 4. Зависимость поглощения от вязкости расплава на частоте 10 Гц при различных значениях пористости и размера зерен.

1 —  $m = 0,10, d = 1,0 \text{ см}$ ; 2 —  $m = 0,01, d = 0,1 \text{ см}$ .

В случае  $\mu = 10^5 - 10^8 \text{ Па}$  и  $f \sim 1 - 10 \text{ Гц}$  основной вклад (сравнимый с измерениями) в поглощение вносит циркуляционный механизм.

Итак, расчеты по модели двухфазной астеносферы (без учета упруговязкодеформируемости матрицы) показали, что изменения в разумных пределах плотности расплава, диаметра зерен, модулей упругости не могут повлиять на реальное значение коэффициента поглощения  $\alpha_p = 10^{-10} - 10^{-8} \text{ см}^{-1}$ , но поглощение хорошо реагирует на объем расплава, его вязкость и в определенном интервале достигает реальных значений.

Обратимся теперь к роли вязкости межзерновой пленки. Потери в астеносфере, вызываемые движением зерен относительно друг друга при появлении в контактах аморфной прослойки, можно вычислить непосредственно по формуле (12), полагая  $\mu = 0$ . Для выбора значений сдвиговой  $\eta$  и объемной  $\zeta$  вязкости астеносферы воспользуемся оценками А. В. Каракина и Л. И. Лобковского [6]:

$$\eta = \delta/\lambda; \zeta_1 = 0,07\delta/\lambda^3; \zeta_2 = 0,21\delta/\lambda^3; \lambda = h/d,$$

где  $\delta$  — истинная вязкость межзернового аморфного вещества;  $\eta, \zeta_1, \zeta_2$  — сдвиговая и объемная вязкость при сжатии и растяжении;  $h$  — толщина аморфной пленки;  $d$  — размер зерна. Параметр  $\delta$  очень трудно определить по независимым данным, поэтому воспользуемся приближенным приемом В. А. Магницкого [10], согласно которому  $\delta = E \cdot \tau \cdot \lambda$ , где  $E$  — модуль сдвига материала зерен ( $\sim 10^{12} \text{ дин}/\text{см}^2$ ),  $\tau$  — время релаксации. По косвенным оценкам В. А. Магницкого  $\tau \sim 10^3 - 10^4 \text{ с}$ , а Р. Мейсснер и У. Веттер [25] считают, что для частоты выше 0,1 Гц (т. е.

сейсмических волн от ядерных взрывов и слабых землетрясений)  $\tau$  составляет  $10^1 - 10^2 \text{ с}$ . Исходя из этих оценок  $\tau$ , при  $\lambda = h/d = 10^{-4} - 10^{-2}$  для вязкости вещества межзерновой прослойки получаем порядок от  $10^9$  до  $10^{14} \text{ Па}$ . Сдвиговая и объемная вязкости астеносферы при этом принимают значения:  $\eta = 10^{14} - 10^{18} \text{ Па}$ ,  $\zeta = 10^{20} - 10^{23} \text{ Па}$ , что и дает возможность одновременно интерпретировать их как тектонические (геодинамические) вязкости.

Из-за большой неопределенности значений вязкости астеносферы будем проводить расчеты в широком диапазоне  $\eta, \zeta \sim 10^{17} - 10^{22} \text{ Па}$ . Полученные численные значения коэффициентов поглощения сейсмических волн  $\alpha_p = (0,1 - 140,0) \cdot 10^{-10} \text{ см}^{-1}$  удовлетворительно согласуются с данными натурных измерений в астеносфере на низких частотах.

Зависимость поглощения от вязкости матрицы при различных размерах зерен на частоте 2 и 5 Гц представлена на рис. 5. Поведение рассчитанных кривых  $\alpha_p(\eta, \zeta)$  количественно дает наблюдаемые данные для астеносферы и качественно соответствует экспериментальным данным для широкого класса жидкостей и твердых тел [13]. При фиксированных значениях  $\eta$  и  $\zeta$  изменение размера зерен от 0,05 до 1,0 см и вязкости расплава, заполняющего поры, от 10 до  $10^{-5} \text{ Па}$  практически не влияет на значение коэффициентов поглощения продольных сейсмических волн. При вязкости матрицы  $\sim 10^{19} \text{ Па}$ , вязкости расплава  $10^2 \text{ Па}$ ,

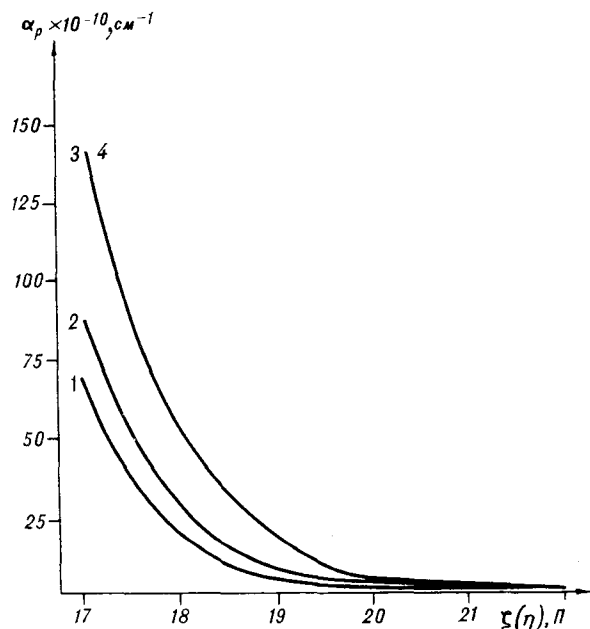


Рис. 5. Взаимосвязь поглощения с объемной и сдвиговой вязкостью матрицы астеносферы на частоте 2 Гц (кривые 1, 2) и 5 Гц (кривые 3, 4) при различных размерах зерен.

1, 3 —  $d = 0,1 \text{ см}$ ; 2, 4 —  $d = 1,0 \text{ см}$ . Ось абсцисс —  $\lg \zeta(\eta), \text{ Па}$ .

размере зерен 1,0 см и пористости 0,10 поглощение очень слабо чувствительно к плотности расплава. Таким образом, определяющее влияние на поглощение в астеносфере оказывает вязкость ее матрицы.

4. Геофизические приложения. Проведенные вычисления показали, что для получения наблюдавшегося затухания вследствие течений сильновязкого расплава ( $\mu = 10^2$  Па) в зернистой среде необходима пористость порядка 20—30 %, что противоречит современным данным о состоянии астеносферы «в среднем».

Если астеносфера содержит небольшое количество расплава, то проницаемость мала и фильтрационные перетоки подавляются. В этом случае основное поглощение обусловлено упруговязкостью матрицы астеносферы при значениях, соответствующих тектонической вязкости  $\sim 10^{18}$  Па. В. А. Магницкий [10] и многие другие считают, что вязкость астеносферы может изменяться в пределах  $10^{19} - 10^{22}$  Па. По мнению Е. В. Артюшкова [1], вязкость астеносферы составляет  $10^{17} - 10^{20}$  Па.

Поглощение  $\alpha_p \sim 10^{-8}$  см<sup>-1</sup>, соответствующее вязкости матрицы астеносферы  $\sim 10^{17}$  Па, связано, по-видимому, с возбужденным состоянием астеносферы. Примером возбужденной астеносферы может служить астеносфера зоны Камчатки, Курильских островов и Японии, где многократные и хорошо проверенные измерения показывают [15], что средний коэффициент поглощения по порядку величины равен  $10^{-8}$  см<sup>-1</sup>. Физически эффект возбуждения астеносферы связан с интенсивными тектоническими подвижками и нелинейным тепловым разогревом [11].

Поглощение  $\alpha_p \sim 10^{-11} - 10^{-10}$  см<sup>-1</sup> характеризует спокойную (слабо разогретую) астеносферу, обладающую вязкостью в  $10^{21} - 10^{23}$  Па. Вязкость  $\sim 10^{19} - 10^{20}$  Па, для которой рассмотренная модель определяет поглощение  $\alpha_p = (7,45 - 2,48) \cdot 10^{-10}$  см<sup>-1</sup>, соответствует промежуточному состоянию.

Лабораторные эксперименты показывают [9], что под воздействием внешнего давления

в зернистых средах с аморфными прослойками в местах контактов происходит резкое перераспределение твердой и жидкой фаз, которое достигается из-за скольжения зерен друг относительно друга. Вероятно, аналогичные процессы возникают и в астеносфере и могут дать  $m = 0,20 - 0,30$ .

Представленные результаты расчетов свидетельствуют в пользу современной точки зрения [7, 16] о повсеместном присутствии астеносферы на Земле. Необходимо также отметить, что в некоторых вариантах расчетов и при наличии расплава в порах и жидкой пленки в контактах зерен поглощении продольных сейсмических волн очень незначительно. Это дает возможность высказать предположение, что астеносфера при определенном сочетании ее физико-механических параметров, несмотря на ее физическое существование, не всегда может быть выявлена сейсмологическими методами.

Таким образом, расчеты по математической модели двухфазной астеносферы приводят к следующим выводам.

1. В пренебрежении вязкостью матрицы изменения плотности расплава, диаметра зерен, модулей упругости расплава и матрицы не влияют на реальное значение коэффициентов поглощения низкочастотных сейсмических волн ( $f \leq 10$  Гц), но поглощении в значительной мере зависит от процентного содержания расплава, его вязкости и в некотором интервале ( $m \geq 20 - 30\%$ ;  $\mu = 10^{-1} - 10$  Па;  $\mu = 10^5 - 10^8$  Па) достигает реальных величин.

2. Определяющее влияние на поглощение в астеносфере оказывает вязкость ее матрицы. Значения коэффициентов поглощения, близкие к измеренным в натурных условиях, могут быть получены только за счет тектонической вязкости порядка  $10^{18}$  Па.

3. Астеносфера при определенном сочетании ее физико-механических параметров может не быть выявлена по сейсмологическим данным.

## ЛИТЕРАТУРА

1. Артюшков Е. В. Геодинамика.— М.: Наука, 1979.
2. Буевич Ю. А., Зубарев А. Ю. О дисперсии линейных упругих волн в насыщенных пористых пластиах // Изв. вузов. Нефть и газ.— 1987.— № 10.— С. 61—65.
3. Воларович М. П., Баюк Е. И., Левыкин А. И. и др. Физико-механические свойства горных пород и минералов при высоких давлениях и температурах.— М.: Наука, 1974.
4. Глико А. О., Жарков В. Н. О поглощении сейсмических волн в частично расплавленной среде // Изв. АН СССР. Физика Земли.— 1977.— № 5.— С. 86—88.
5. Жарков В. Н., Трубицын В. П. Физика планетных недр.— М.: Наука, 1980,
6. Каракин А. В., Лобковский Л. И. К выводу уравнений трехкомпонентной вязкоупругой среды (кора и астеносфера) // Изв. АН СССР. Физика Земли.— 1985.— № 12.— С. 3—13.
7. Конников Ю. Ф., Павлова О. В. Поглощение короткопериодных поперечных волн в верхней мантии Украинского щита // Изв. АН СССР. Физика Земли.— 1988.— № 2.— С. 10—16.
8. Кристенсен Р. Введение в теорию вязкоупругости.— М.: Мир, 1974.
9. Левыкин А. И., Фарберов А. И., Насимов Р. М. Влияние фазового состояния и вязкости заполнителя на плотность, деформируемость и упругость зернистой среды под давлением // Докл. АН СССР.— 1979.— Т. 245, № 3.— С. 563—566.

10. Магнитцкий В. А. Внутреннее строение и физика Земли.— М.: Недра, 1965.
11. Марон В. И., Николаевский В. Н. Возбуждение астеносферы в результате движения литосферных плит // Докл. АН СССР.— 1989.— Т. 308, № 4.— С. 828—831.
12. Николаевский В. Н. Механика пористых и трещиноватых сред.— М.: Недра, 1984.
13. Осокина Д. Н. О корреляции между затуханием упругих колебаний и сдвиговой вязкостью у твердых тел и жидкостей // Тектонофизика и механические свойства горных пород.— М.: Наука, 1971.— С. 72—90.
14. Фарберов А. И. Магматические очаги вулканов Восточной Камчатки по сейсмологическим данным.— Новосибирск: Наука, Сиб. отд-ние, 1974.
15. Федотов С. А. Энергетическая классификация Курило-Камчатских землетрясений и проблема магнитуд.— М.: Наука, 1972.
16. Хайн В. Е. Тектоника плит двадцать лет спустя (размышления о прошлом, настоящем и будущем) // Геотектоника.— 1988.— № 6.— С. 3—17.
17. Шнейдер A. E. Основы геодинамики.— М.: Недра, 1987.
18. Borgen N., Waff H. S. Permeabilities interfacial areas and curvatures of partially molten systems: results of numerical computations of equilibrium microstructures // J. Geophys. Res.— 1986.— V. 91, N B9.— P. 9261—9276.
19. Der Z. A., Rivers W. D., McElfresh T. W. et al. Worldwide variations in the attenuative properties of the upper mantle as determined from spectral studies of short-period body waves // Phys. Earth and Planet. Inter.— 1982.— V. 30, N 1.— P. 12—25.
20. Jackson D. D., Anderson D. L. Physical mechanisms of seismic wave attenuation // Rev. Geophys. Space Phys.— 1970.— V. 8, N 1.— P. 1—63.
21. Kushiro J. Viscosity of partial melts in upper mantle // J. Geophys. Res.— 1986.— V. 91, N B9.— P. 9343—9350.
22. Manghnani M. H., Sato H., Rai C. S. Ultrasonic velocity and attenuation measurements on basalt melts to 1500 °C: sole of composition and structure in the viscoelastic properties // Ibid.— P. 9333—9342.
23. Mavco G. M., Nur A. Melt squirt in the asthenosphere // Ibid.— 1975.— V. 80, N 11.— P. 1444—1448.
24. Mavco G., Kjartansson E., Winkler K. Seismic waves attenuation in rocks // Rev. Geophys. Space Phys.— 1979.— V. 17, N 6.— P. 1155—1164.
25. Meissner R. O., Vetter U. R. Relationship between the seismic quality factor Q and the effective viscosity  $\eta^*$  // J. Geophysics.— 1979.— V. 45, N 2.— P. 147—158.
26. O'Connell R. J., Budiansky B. Viscoelastic properties of fluid-saturated cracked solids // J. Geophys. Res.— 1977.— V. 82, N 33.— P. 5719—5735.
27. Sato H., Sacks I. S., Murase T. The use of laboratory velocity data for estimating temperature and partial melt fraction in the low-velocity zone: comparison with heat flow and electrical conductivity studies // Ibid.— 1989.— V. 94, N B5.— P. 5689—5704.
28. Stocker R. L., Gordon R. B. Velocity and internal friction in partial melts // Ibid.— 1975.— V. 80, N 35.— P. 4828—4836.
29. Walsh J. B. New analysis of attenuation in partially melted rocks // Ibid.— 1969.— V. 74, N 17.— P. 4333—4337.

ИТИГ ДВО АН СССР  
Хабаровск  
ИФЗ АН СССР  
Москва

Поступила в редакцию  
6 июля 1990 г.